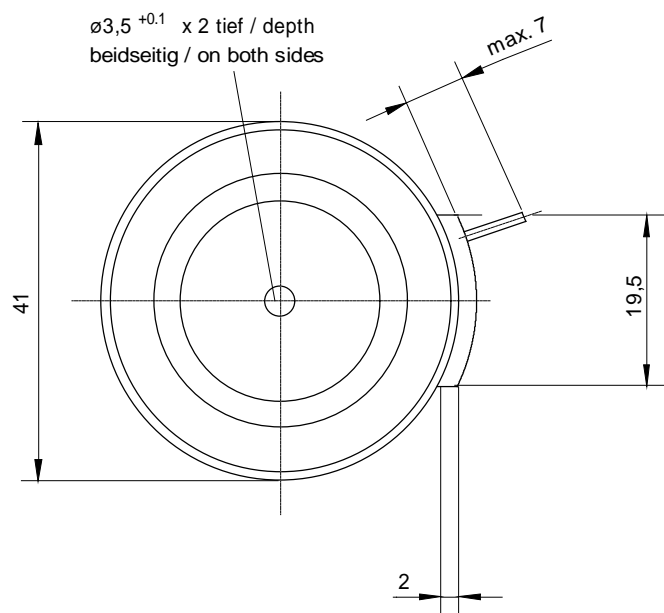
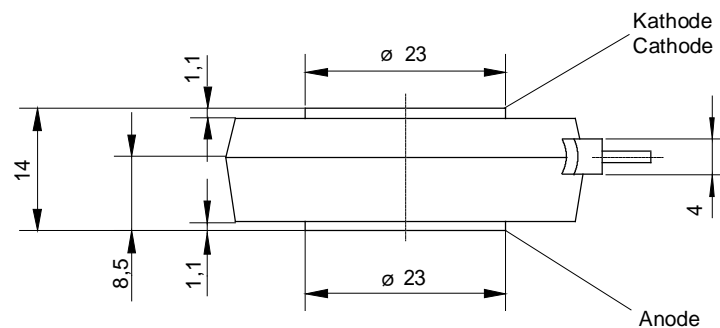


European Power-
Semiconductor and
Electronics Company
GmbH + Co. KG

Leistungsgleichrichterdioden Power Rectifier Diodes D 448 N

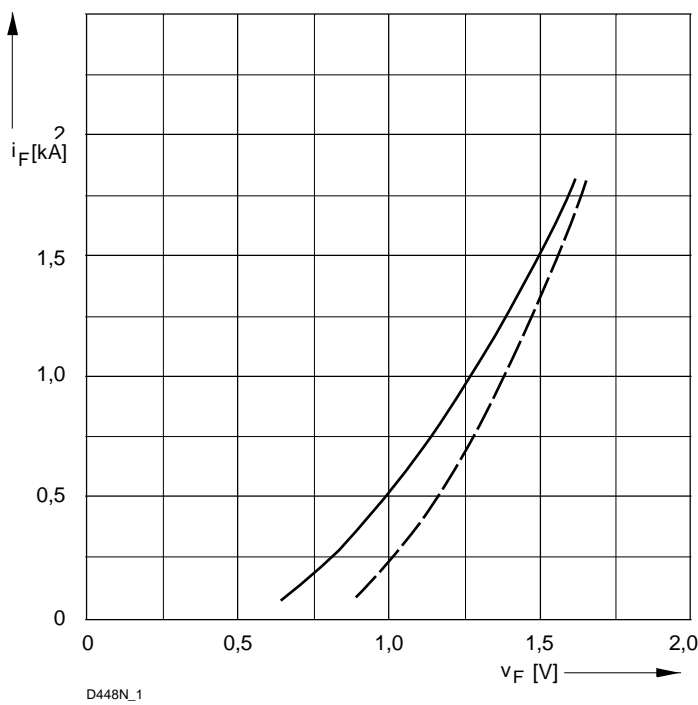


D 448 N

Elektrische Eigenschaften	Electrical properties					
Höchstzulässige Werte	Maximum rated values					
Periodische Spitzensperrspannung	repetitive peak reverse voltage	$t_{vj} = -40^{\circ}\text{C} \dots t_{vj \max}$	V_{RRM}	200, 400	V	
				600, 800*	V	
Stoßspitzensperrspannung	non-repetitive peak reverse voltage	$t_{vj} = +25^{\circ}\text{C} \dots t_{vj \max}$	$V_{RSM} = V_{RRM}$	+ 50	V	
Durchlaßstrom-Grenzeffektivwert	RMS forward current		I_{FRMSM}	710	A	
Dauergrenzstrom	mean forward current	$t_c = 122^{\circ}\text{C}$ $t_c = 130^{\circ}\text{C}$	I_{FAVM}	450	A^{-1}	
Stoßstrom-Grenzwert	surge forward current	$t_{vj} = 25^{\circ}\text{C}, t_p = 10 \text{ ms}$ $t_{vj} = t_{vj \max}, t_p = 10 \text{ ms}$	I_{FSM}	6,3	kA	
Grenzlastintegral	$I^2 t$ -value	$t_{vj} = 25^{\circ}\text{C}, t_p = 10 \text{ ms}$ $t_{vj} = t_{vj \max}, t_p = 10 \text{ ms}$	$I^2 t$	198,5	$\text{kA}^2 \text{s}$	
				130	$\text{kA}^2 \text{s}$	
Charakteristische Werte	Characteristic values					
Durchlaßspannung	on-state voltage	$t_{vj} = t_{vj \max}, i_F = 1,35 \text{ kA}$	V_T	max.	1,44	V
Schleusenspannung	threshold voltage	$t_{vj} = t_{vj \max}$	$V_{T(TO)}$		0,7	V
Ersatzwiderstand	slope resistance	$t_{vj} = t_{vj \max}$	r_T		0,51	$\text{m}\Omega$
Sperrstrom	reverse current	$t_{vj} = t_{vj \max}, V_R = V_{RRM}$	i_R	max.	20	mA
Thermische Eigenschaften	Thermal properties					
Innerer Widerstand	thermal resistance, junction to case	beidseitig/two-sided, $\Theta = 180^{\circ} \text{ sin}$ beidseitig/two sided, DC Anode/anode, $\Theta = 180^{\circ} \text{ sin}$ Anode/anode, DC Kathode/cathode, $\Theta = 180^{\circ} \text{ sin}$ Kathode/cathode, DC	R_{thJC}	max.	0,102	$^{\circ}\text{C/W}$
				max.	0,097	$^{\circ}\text{C/W}$
				max.	0,155	$^{\circ}\text{C/W}$
				max.	0,150	$^{\circ}\text{C/W}$
				max.	0,280	$^{\circ}\text{C/W}$
				max.	0,275	$^{\circ}\text{C/W}$
Übergangs-Wärmewiderstand	thermal resistance, case to heatsink	beidseitig /two-sided einseitig /single-sided	R_{thCK}	max.	0,015	$^{\circ}\text{C/W}$
				max.	0,030	$^{\circ}\text{C/W}$
Höchstzul. Sperrsichttemperatur	max. junction temperature		$t_{vj \max}$		180	$^{\circ}\text{C}$
Betriebstemperatur	operating temperature		$t_{c op}$		-40...+150	$^{\circ}\text{C}$
Lagertemperatur	storage temperature		t_{stg}		-40...+150	$^{\circ}\text{C}$
Mechanische Eigenschaften	Mechanical properties					
Si-Element mit Druckkontakt	Si-pellet with pressure contact	$\emptyset = 17 \text{ mm}$				
Anpreßkraft	clamping force	Gehäuseform/case design T	F		2,6...4,6	kN
Gewicht	weight		G	typ.	75	g
Kriechstrecke	creepage distance				25	mm
Feuchteklass	humidity classification	DIN 40040				C
Schwingfestigkeit	vibration resistance	$f = 50 \text{ Hz}$			50	m/s^2
Maßbild	outline					Seite/page

* Bitte Liefertermin erfragen / Delivery on request

D 448 N



Bild/Fig. 1
Grenzdurchlaßkennlinie
Limiting forward characteristic $i_F = f(v_F)$
— $t_{vj} = 180\text{ }^{\circ}\text{C}$
- - - $t_{vj} = 25\text{ }^{\circ}\text{C}$

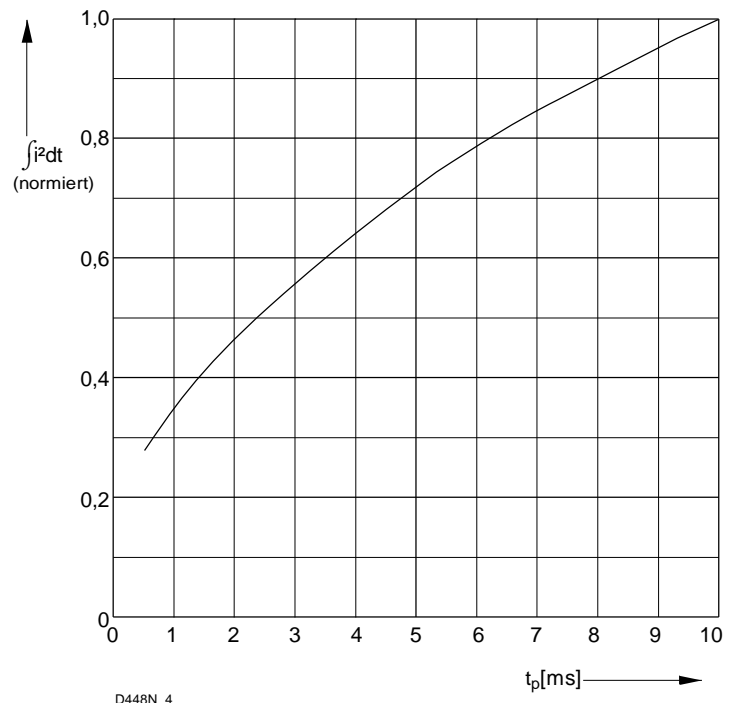


Bild / Fig. 2
Normiertes Grenzlastintegral / Normalized i^2t
 $\int i^2 dt = f(t_p)$

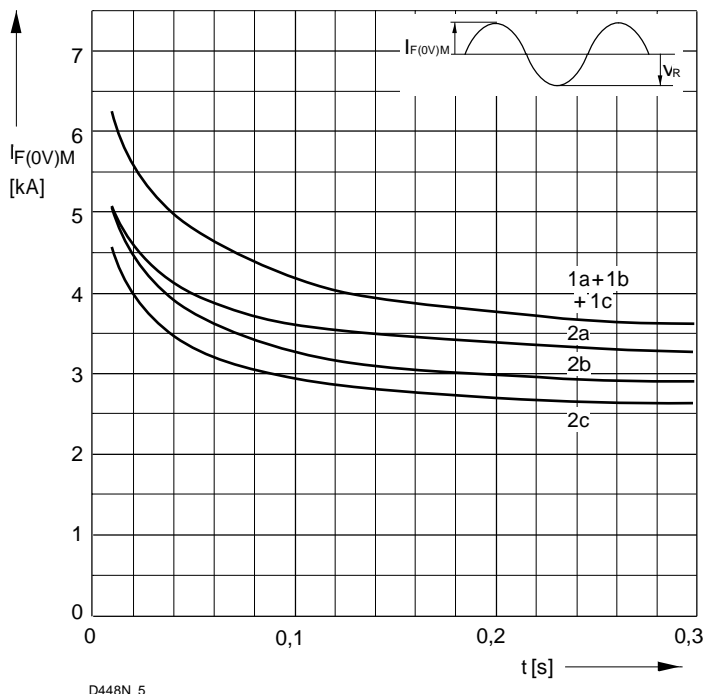


Bild / Fig. 3
Grenzstrom / Maximum overload forward current $I_F(0V)M = f(t)$
1 - $|I_{FAV}(\text{vor}) = 0\text{ A}; t_{vj} = t_c = 25\text{ }^{\circ}\text{C}$
2 - $|I_{FAV}(\text{vor}) = 450\text{ A}; t_c = 122\text{ }^{\circ}\text{C}; t_{vj} = 180\text{ }^{\circ}\text{C}$
a - $VR \leq 50\text{ V}$
b - $VR = 0,5\text{ VRMM}$
c - $VR = 0,8\text{ VRMM}$

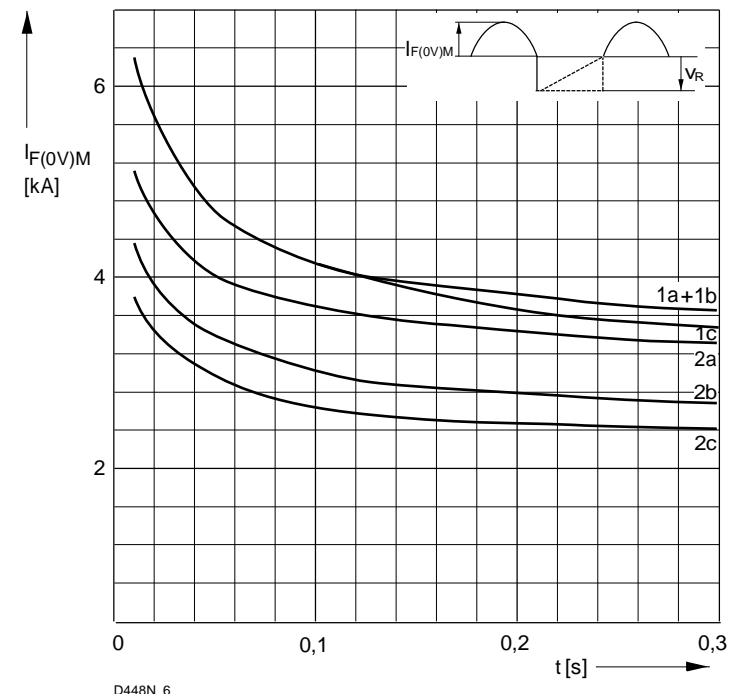


Bild / Fig. 4
Grenzstrom / Maximum overload forward current $I_F(0V)M = f(t)$
1 - $|I_{FAV}(\text{vor}) = 0\text{ A}; t_{vj} = t_c = 25\text{ }^{\circ}\text{C}$
2 - $|I_{FAV}(\text{vor}) = 450\text{ A}; t_c = 122\text{ }^{\circ}\text{C}; t_{vj} = 180\text{ }^{\circ}\text{C}$
a - $VR \leq 50\text{ V}$
b - $VR = 0,5\text{ VRMM}$
c - $VR = 0,8\text{ VRMM}$

D 448 N

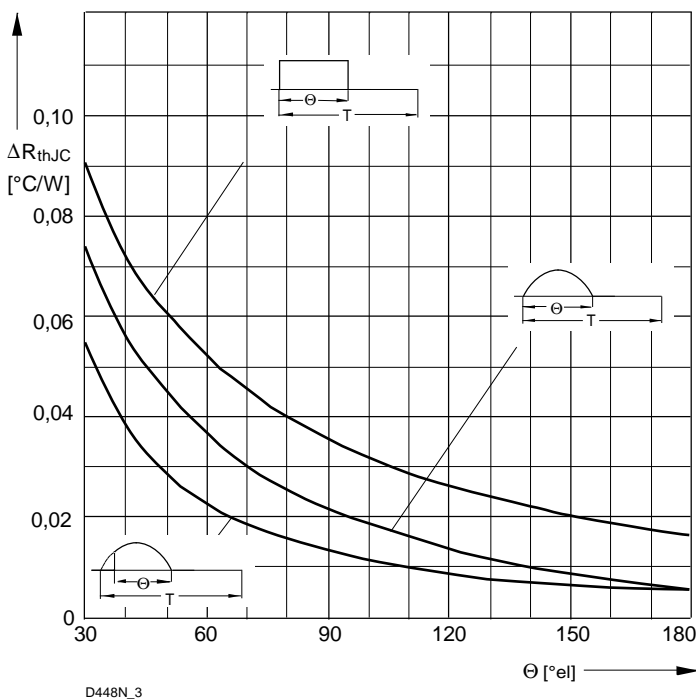


Bild / Fig. 5
Differenz zwischen den Wärmewiderständen
für Pulssstrom und DC
Difference between the values of thermal resistance for
pulse current and DC
Parameter: Stromkurvenform / Current waveform

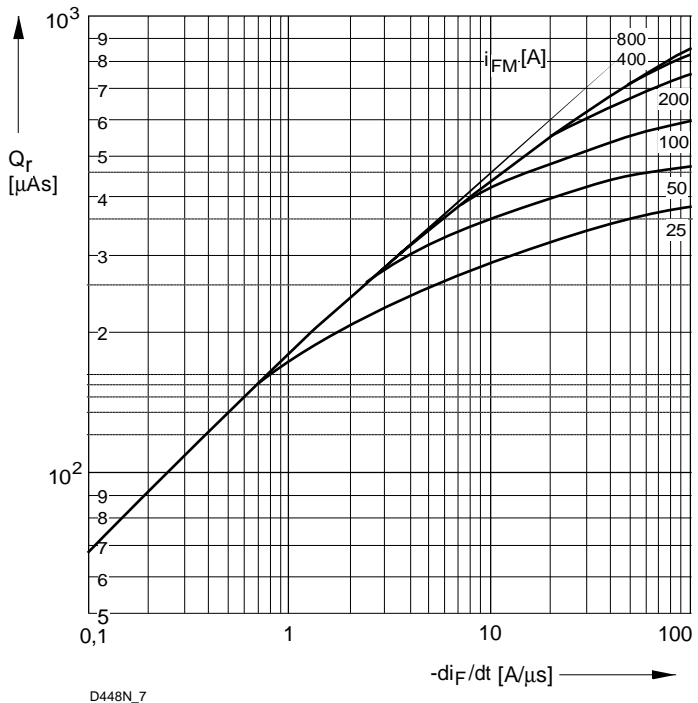


Bild / Fig. 6
Sperrverzögerungsladung / Recovered charge $Q_r = f(-di_F/dt)$
 $t_{vj} = tv_{jmax}$; $VR \leq 0,5 V_{RRM}$; $V_{RM} = 0,8 V_{RRM}$
Beschaltung / Snubber: $C = 0,68 \mu F$; $R = 5,6 \Omega$
Parameter: Durchlaßstrom / Forward current i_{FM}

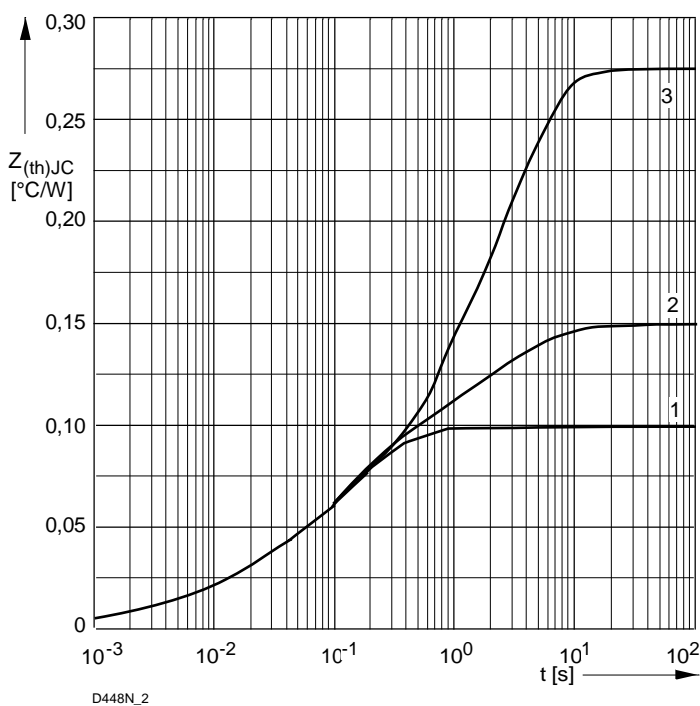


Bild / Fig. 7
Transienter innerer Wärmewiderstand
Transient thermal impedance $Z_{thJC} = f(t)$, DC
1 - Beidseitige Kühlung / Two-sided cooling
2 - Anodenseitige Kühlung / Anode-sided cooling
3 - Kathodenseitige Kühlung / Cathode-sided cooling

Analytische Elemente des transienten Wärmewiderstandes Z_{thJC} für DC
Analytical elements of transient thermal impedance Z_{thJC} for DC

Kühlg. Cooling	Pos. n	1	2	3	4	5	6	7
1	$R_{thn} \text{ } ^\circ\text{C/W}$	0,00132	0,00668	0,0049	0,034	0,0501		
	$\tau_n \text{ [s]}$	0,0000650	0,0008410	0,0113	0,0409	0,2		
2	$R_{thn} \text{ } ^\circ\text{C/W}$	0,00111	0,00652	0,01257	0,0303	0,0405	0,0257	0,0333
	$\tau_n \text{ [s]}$	0,0000560	0,00075	0,015	0,0611	0,182	1,61	4,15
3	$R_{thn} \text{ } ^\circ\text{C/W}$	0,00119	0,00651	0,00873	0,04197	0,0416	0,175	
	$\tau_n \text{ [s]}$	0,0000590	0,0007730	0,0129	0,0552	0,524	3,11	

- 1 - Beidseitige Kühlung / Two-sided cooling
- 2 - Anodenseitige Kühlung / Anode-sided cooling
- 3 - Kathodenseitige Kühlung / Cathode-sided cooling

Analytische Funktion / Analytical function

$$Z_{thJC} = \sum_{n=1}^{n_{max}} R_{thn} (1 - \exp(-t/\tau_n))$$